

桟橋床版にかかる揚圧力の実験的研究

大阪大学工学部 正員 室田 明
 同 上 正員 古土井 光昭
 清水建設 正員 富沢 茂

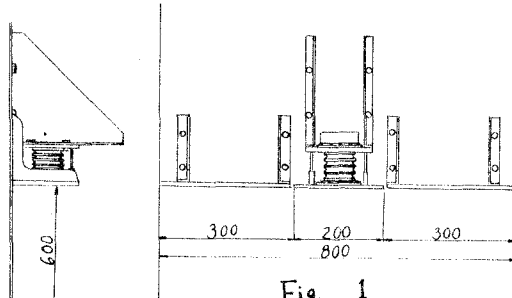


Fig. 1

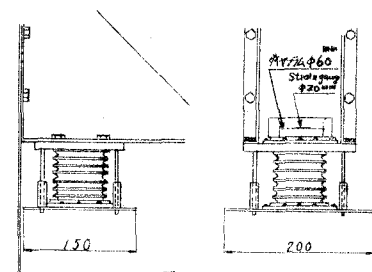


Fig. 2

1. 実験目的： 桟橋構造を有する岸壁に来襲する波は、その直立壁前面の水深、海底勾配等によって碎波圧あるいは重複波圧を発生するが、同時に桟橋のエプロンのように、直立壁から張り出した水平床版に揚圧力が作用することがある。本報告は、このような揚圧力について模型実験によって検討したところを述べたものである。

2. 実験装置および実験方法： 実験水槽は長さ30m、巾0.8m、深さ0.9mの片面ガラス張りの鉄製水槽を使用し、一端にplunger type の造波装置を他端に張り出し床版をもつ直立壁をもうける。

Fig. 1 は直立壁床版にとりつけられた波圧計とエプロンとの取りつけを示す。Fig. 2 は波圧計の詳細図である。受圧面(15cm×20cm)を大きくしたため圧力の伝達には、油を密閉したベローズを使用した。(固有振動数 100 cycle/sec) 波高は抵抗式波高計により測定し、波高および波圧の変化はvisigraphで記録した。水深は50cmに一定にとり、エプロンの高さは、静水面上、5, 7, 10cmの3種とし、その各々についてFig. 3 に示す波を用いて波圧を測定した。

3. 実験結果の検討： 水平床版に作用する揚圧力は、直立壁前面の水位上昇速度ひとと水位が床版の高さにとどまる時間Tで規定される。床版の静水面からの高さ(clearance)を d_0 とするとき、床版のない場合、波が到達する最高水位は、 $d_0 + \frac{d_0^2 T}{2} = d_0 H'$ で近似しうるものとし、波面上昇速度および下の

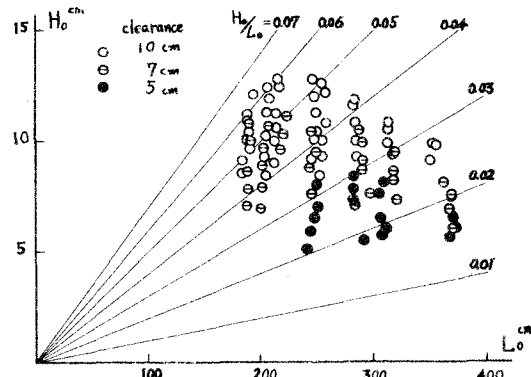


Fig. 3

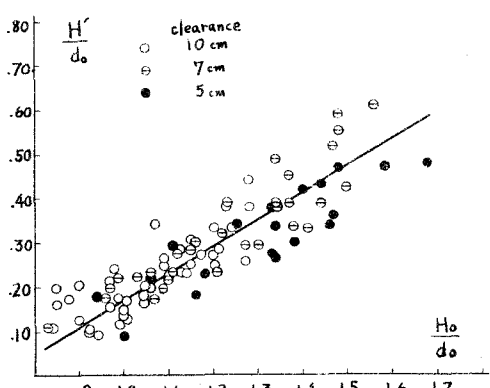
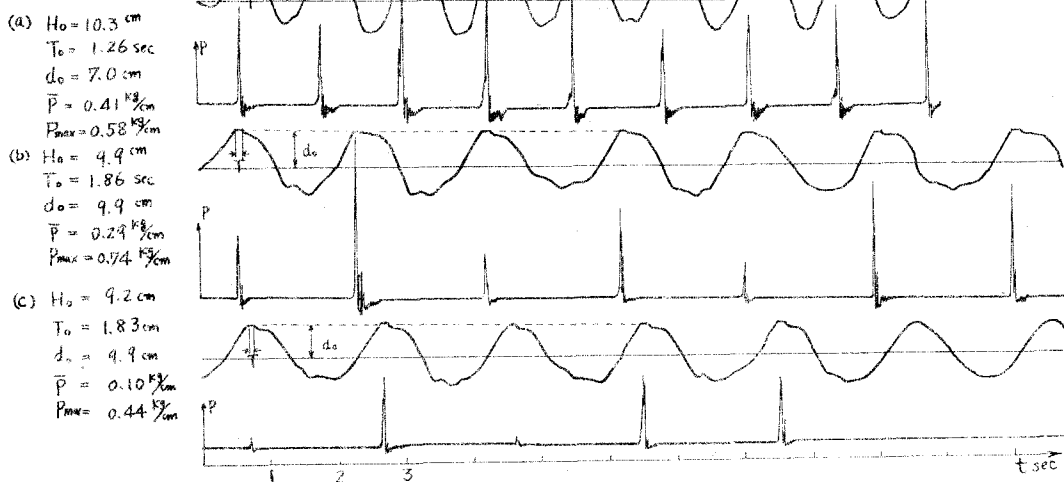


Fig. 4

Fig. 5



実験値から H' を算出し、 H' と沖波波高 H_0 の関係を求めるとき、Fig. 4 のごとく、ほぼ直線的な関係をもつ。Fig. 5 は直立壁前面床版下に設置した波高計と、液圧の同時記録例である。図に見られる如く、発生する衝撃圧は必ずしも規則的ではない。Fig. 5 に示す peak pressure 及び $d_o H'$ が無次元化し、 H_u / d_o との関係を求めるとき、Fig. 6, 7 になる。ただし、 H_u は直立壁で完全重複波が発生するときの、静水面から波頂までの高さ ζ 、 $H_u = H_0 + \frac{\pi H_0^2}{L} \sin \frac{2\pi \zeta}{L}$ 、 d_o は床版単位幅当たりの peak pressure の平均値、 P_{\max} はその peak pressure の最大値。Fig. 5 に認められるように大きな衝撃揚圧力はほとんど波面が床版に接触した瞬間に発生しており、単位面積当たりの揚圧力と云ふ表現は適当では無い。それで床版単位幅当たりの揚圧力や名前は良い。このようないまほ整備にもかかわらず、图から明らかなように、clearance d_o によってかなり明瞭な傾向を示す。Fig. 6 の如きによる実験値の分散については本実験では、その理由を明らかにすることは出来なかつた。尚、本実験は運輸省第三港湾建設局の委託により行ったものであることを付記する。

